## **Bibliografia**

La seguente bibliografia, per la vastità e qualità del materiale esistente sull'argomento, individua soltanto alcuni testi base per lo studio della città di Monza, e non ha, quindi, alcun carattere di completezza.

Vengono inoltre riportato tutti i volumi, le riviste e gli articoli di giornali che hanno permesso sia di conoscere meglio il sito, che di fare le prime esperienze in merito all'ampio campo del recupero.

Si è quindi ordinato il materiale per sezioni rilevanti secondo le tematiche determinate.

#### ARCHIVI e BIBLIOTECHE

Archivio Storico Civico, via Annoni 14, Monza (MB)

Biblioteca Civica, via Giuliani 1, Monza (MB)

#### **BIBLIOGRAFIA GENERALE**

AAVV, 1995, Manuale di progettazione edilizia: fondamenti, strumenti, norme, Hoepli, Milano

Lynch Kevin, 1990, *Progettare la città. La qualità della forma urbana*, Etas Libri, Milano

Secchi Bernardo, 2000, Prima lezione di urbanistica, Editore Laterza, Roma

Galuzzi Paolo e Vitillo Piergiorgio, 2008, Rigenerare le città. La perequazione urbanistica come progetto, Maggioli Editori, Milano

Palazzo Danilo, 2000, *Urban Design. Un processo per la progettazione urbana*, Mondadori Università, Milano

Steiner Frederick, 2004, Costruire il paesaggio. Un approccio ecologico alla pianificazione, seconda edizione, McGraw-Hill, Milano

Hollis Edward, 2011, La vita segreta degli edifici, Adriano Salani Editori, Milano

### BIBLIOGRAFIA SPECIFICA

Recupero e Conservazone degli Edifici

Manuela Grecchi e Laura Elisabetta Malighetti, 2008, Ripensare il costruito. Il progetto di recupero e rifunzionalizzazione degli edifici, Maggioli Editori, Milano

Bellini Amedeo, 1990, Tecniche della conservazione, Editore Angeli, Milano

Cesare Feiffer, 2003, Il progetto di conservazione, Franco Angeli Editore, Milano

Caterina Gabriella, a cura di, 1989, Tecnologia del recupero edilizio, UTET, Torino

#### Progettazione e innovazione tecnologica

Butera Federico M., 1995, Architettura e ambiente : manuale per il controllo della qualita' termica, luminosa e acustica degli edifici, Etaslibri, Milano

Scudo Gianni e Silvia Piardi, 2002, *Edilizia sostenibile*, Gruppo editoriale Esselibri Simone, Napoli

Babalis Dimitra, 2003, *Bioclimatic design and urbanistic regeneration*, Edizioni polistampa, Firenze

Imperadori Marco, a cura di, 2001, Costruire sul costruito: tecnologie leggere nel recupero edilizi, Carocci, Roma

Imperadori Marco e Poli Tiziana, 1998, *Dubosc e Landowski : architettura e industria*, Grafo, Milano

Zambelli E., Vanoncini P., Imperadori M., 1998, Costruzione stratificata a secco, Maggioli Editori, Rimini

#### Opere su Monza e la Brianza

AA.VV., 2000, Brianza globale, i percorsi di sviluppo, Norrima, Milano

AA.VV., 1958, Guida di Monza e della Brianza, Grida, Milano

#### CATALOGHI

Catalogo Europan 7, *Periferia "IN": intensità urbana e diversità residenziale*, Edizione Europan Italia, Roma, Italia, 2004

#### **RIVISTE CONSULTATE**

Abitare, Rivista mensile di architettura, interni e design internazionalmente, Editrice Abitare Segesta, Milano

Materia, Quadrimestrale di architettura, Federico Motta Editore, Milano

Area, Bimestrale di cultura e informazione sul progetto, Federico Motta Editore, Milano

The Plan, Rivista bimestrale di architettura e Tecnologia, Centauro srl, Bologna

Casabella, Rivista mensile di architettura, Mondadori, Milano

*d' Architettura*, Rivista quadrimestrale a cura dell'Agenzia Italiana d'Architettura, Federico Motta Editore, Milano

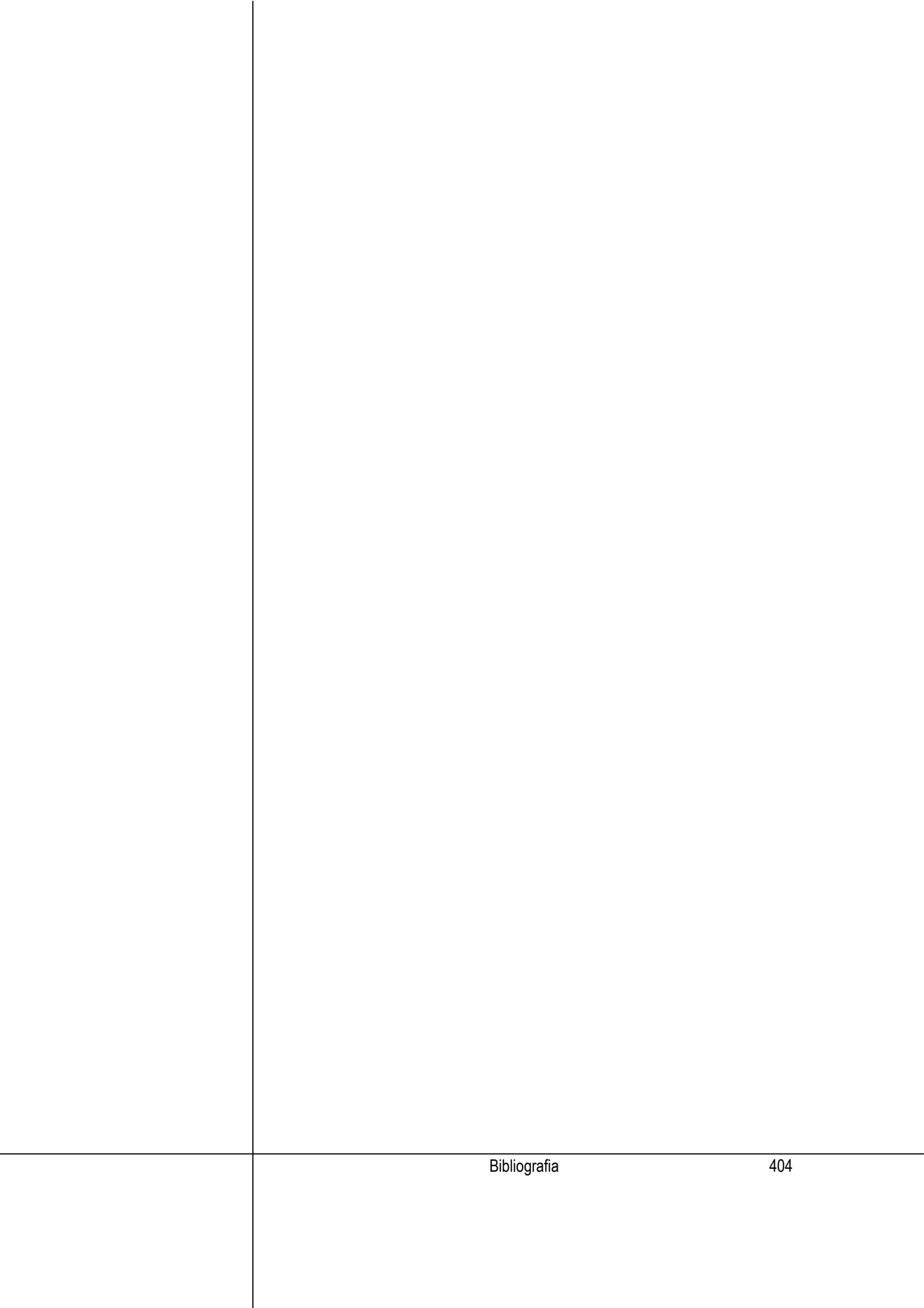
Detail, Rivista mensile di architettura, Edition Derail, Monaco di Baviera, Germania

l'Arca, Mensile internazionale di architettura, design e comunicazione visiva, Arca edizioni, Milano

Arketipo, Rivista mensile di Architettura, New Business Media srl, Milano Domus, Mensile di architettura e arredamento dell'abitazione moderna in città e in campagna, Editoriale Domus, Rozzano (Milano) Lotus, Rivista mensile di Architettura a paesaggio, Federico Motta Editore, Milano

Bibliografia

403



# Indice delle Immagini

Introduzione 2. Fotografia Stabilimento FIAT, Valdocco 3. Fotografia Ex fonderie, Modena 4. Fotografia Ex fonderie, Modena 5. Schizzo Schema recupero aree dismesse 7. Schizzo Schema recupero aree dismesse 8. Schizzo Schema recupero aree dismesse 8. Schizzo Schema recupero aree dismesse 8. Immagine L'Europa nel Mondo 9. Immagine L'Italia in Europa 9. Immagine La Lombardia in Italia 9. Immagine La cità di Monza nella provincia di Monza e Brianza in Lombardia 9. Immagine La cità di Monza nella provincia di Monza e Brianza in Limmagine La cità di Monza nella provincia di Monza e Brianza in circoscrizioni pag. 41 11. Immagine Suddivisione del territorio comunale di Monza in circoscrizioni ventennio (dal 1980 al 2002 per la stazione di Monza Frisi) 14. Grafico a linee delle Temperature medie mensili, riferite la periodo che va dal 1990 al 2002 15. Diagramma solare di tipo polare realizzato sulle coordinate geografiche della città di Monza 16. Immagine Occhio pollino all'interno del terrazzo di Villa Reale 17. Immagine Suddivisione del territorio comunale in aree con caratteri litologico-tecnici del substrato assimilabili tra loro di Monza Fisi pag. 48 18. Fotografia del punto di intersezione tra il corso naturale del Fiume Lambro e il Canale Villoresi pag. 51 19. Immagine Confronto tra le aree allegate all'interno del tessuto di Monza durante le piene del 1976 (arancio) e del 2002 (blu rigato) pag. 51 20. Fotografia Il Canale Villoresi con l'acqua pag. 52 21. Fotografia Il Canale Villoresi con l'acqua pag. 52 22. Fotografia Il Baghetto sportivo della Boscherona con la tubazione che immette le acqua dal canale Villoresi pag. 52 23. Fotografia Il alghetto sportivo della Boscherona con la tubazione che immette le acqua dal canale Villoresi pag. 53 24. Immagine Schema urbanistico del vicus di Modicia tra il Il secolo e il Ill secolo, M. David – E. Caglio pag. 53 25. Immagine Ricostruzione del vicus di Modicia tra il Il secolo pag. 53 26. Fotografia Il palazzo dell'Arengario nel centro storico di Monza pag. 54 27. Fotogra	1.	Immagine "Gioco delle matriosche"	pag.	2
6. Immagine L'Europa nel Mondo 7. Immagine L'Italia in Europa 8. Immagine La Lombardia in Italia 9. Immagine La provincia di Monza e Brianza in Lombardia pag. 41 10. Immagine La città di Monza nella provincia di Monza e Brianza pag. 41 11. Immagine Suddivisione del territorio comunale di Monza in circoscrizioni pag. 42 12. Immagine Aerea di Monza riportante i paesi confinanti pag. 42 13. Istogramma con le precipitazioni totali annuali per ultimo ventennio (dal 1980 al 2002 per la stazione di Monza Frisi) pag. 44 14. Grafico a linee delle Temperature medie mensili, riferite la periodo che va dal 1990 al 2002 pag. 45 15. Diagramma solare di tipo polare realizzato sulle coordinate geografiche della città di Monza pag. 46 16. Immagine Occhio pollino all'interno del terrazzo di Villa Reale pag. 48 17. Immagine Suddivisione del territorio comunale in aree con caratteri litologico-tecnici del substrato assimilabili tra loro 18. Fotografia del punto di intersezione tra il corso naturale del Fiume Lambro e il Canale Villoresi pag. 51 19. Immagine Confronto tra le aree allegate all'interno del tessuto di Monza durante le piene del 1976 (arancio) e del 2002 (blu rigato) pag. 51 20. Fotografia Il Canale Villoresi senza acqua pag. 52 21. Fotografia Il Canale Villoresi senza acqua pag. 52 22. Fotografia Il Canale Villoresi senza acqua pag. 52 23. Fotografia Il Canale Villoresi senza acqua pag. 52 24. Immagine Schema urbanistico del vicus di Modicia, M. David – E. Caglio pag. 53 25. Immagine Ricostruzione del vicus di Modicia tra il Il secolo e il III secolo, M. Dadiv – E. Caglio pag. 53 26. Fotografia La Corona Ferrea conservata nel Museo del Duomo di Monza pag. 54 27. Fotografia Il palazzo dell'Arengario nel centro storico di Monza pag. 55 28. Fotografia Torre di Teodolinda del XIII secolo in via Lambro pag. 55 29. Fotografia Torre di Teodolinda via Azzone Visconti	2. 3. 4.	Fotografia Stabilimento FIAT, Valdocco Fotografia Ex fonderie, Modena Fotografia Ex fonderie, Modena	pag. pag.	8 8
7. Immagine L'Italia in Europa 8. Immagine La Lombardia in Italia 9. Immagine La provincia di Monza e Brianza in Lombardia 10. Immagine La città di Monza nella provincia di Monza e Brianza 11. Immagine Suddivisione del territorio comunale di Monza in circoscrizioni pag. 42 12. Immagine Aerea di Monza riportante i paesi confinanti pag. 42 13. Istogramma con le precipitazioni totali annuali per ultimo ventennio (dal 1980 al 2002 per la stazione di Monza Frisi) 14. Grafico a linee delle Temperature medie mensili, riferite la periodo che va dal 1990 al 2002 15. Diagramma solare di tipo polare realizzato sulle coordinate geografiche della città di Monza 16. Immagine Occhio pollino all'interno del terrazzo di Villa Reale 17. Immagine Suddivisione del territorio comunale in aree con caratteri litologico-tecnici del substrato assimilabili tra loro 18. Fotografia del punto di intersezione tra il corso naturale del Fiume Lambro e il Canale Villoresi 19. Immagine Confronto tra le aree allegate all'interno del tessuto di Monza durante le piene del 1976 (arancio) e del 2002 (blu rigato) 20. Fotografia Il Canale Villoresi con l'acqua 21. Fotografia Il Canale Villoresi senza acqua 22. Fotografia Il Canale Villoresi senza acqua 23. Fotografia Il Canale Villoresi senza acqua 24. Immagine Schema urbanistico del vicus di Modicia, M. David – E. Caglio pag. 53 24. Immagine Ricostruzione del vicus di Modicia tra il Il secolo e il III secolo, M. Dadiv – E. Caglio pag. 53 26. Fotografia La Corona Ferrea conservata nel Museo del Duomo di Monza 27. Fotografia Duomo di Monza 28. Fotografia Torre di Teodolinda del XIII secolo in via Lambro pag. 55 29. Fotografia Torre di Teodolinda del XIII secolo in via Lambro pag. 55 30. Fotografia Torre Viscontea in via Azzone Visconti		noscenza 2		
8. Immagine La Lombardia in Italia 9. Immagine La provincia di Monza e Brianza in Lombardia pag. 41 pag. 42 pag. 45 pag. 45 pag. 45 pag. 46 pag. 47 pag. 48 pag. 49 pag. 51 pag. 49 pag. 51 pag. 49 pag. 51 pag. 51 pag. 51 pag. 51 pag. 51 pag. 52 pag. 53 pag. 53 pag. 53 pag. 53 pag. 54 pag. 55 pag. 55 pag. 56 pag. 56 pag. 56 pag. 56 pag. 56 pag. 56 pag. 57 pag. 56 pag. 56 pag. 57 pag. 56 pa		•	pag.	
9. Immagine La provincia di Monza e Brianza in Lombardia pag. 41 10. Immagine La città di Monza nella provincia di Monza e Brianza pag. 41 11. Immagine Suddivisione del territorio comunale di Monza in circoscrizioni pag. 42 12. Immagine Aerea di Monza riportante i paesi confinanti pag. 42 13. Istogramma con le precipitazioni totali annuali per ultimo ventennio (dal 1980 al 2002 per la stazione di Monza Frisi) pag. 44 14. Grafico a linee delle Temperature medie mensili, riferite la periodo che va dal 1990 al 2002 pag. 45 15. Diagramma solare di tipo polare realizzato sulle coordinate geografiche della città di Monza pag. 46 16. Immagine Occhio pollino all'interno del terrazzo di Villa Reale pag. 48 17. Immagine Suddivisione del territorio comunale in aree con caratteri litologico-tecnici del substrato assimilabili tra loro pag. 49 18. Fotografia del punto di intersezione tra il corso naturale del Fiume Lambro e il Canale Villoresi pag. 51 19. Immagine Confronto tra le aree allegate all'interno del tessuto di Monza durante le piene del 1976 (arancio e del 2002 (blu rigato) pag. 51 20. Fotografia Il Lambro poco a monte della confluenza con la roggia Lupa pag. 52 21. Fotografia Il Canale Villoresi senza acqua pag. 52 22. Fotografia Il Canale Villoresi senza acqua pag. 52 23. Fotografia Il Canale Villoresi senza acqua pag. 52 24. Immagine Schema urbanistico del vicus di Modicia, M. David – E. Caglio pag. 53 25. Immagine Ricostruzione del vicus di Modicia tra il Il secolo e il Ill secolo, M. Dadiv – E. Caglio pag. 53 26. Fotografia Il palazzo dell'Arengario nel centro storico di Monza pag. 53 27. Fotografia Torre di Teodolinda del XIII secolo in via Lambro pag. 55 28. Fotografia Torre di Teodolinda del XIII secolo in via Lambro pag. 55 29. Fotografia Torre Viscontea in via Azzone Visconti pag. 56		Immagine L'Italia in Europa	pag.	
10. Immagine La città di Monza nella provincia di Monza e Brianza pag. 41 11. Immagine Suddivisione del territorio comunale di Monza in circoscrizioni pag. 42 12. Immagine Aerea di Monza riportante i paesi confinanti pag. 42 13. Istogramma con le precipitazioni totali annuali per ultimo ventennio (dal 1980 al 2002 per la stazione di Monza Frisi) pag. 44 14. Grafico a linee delle Temperature medie mensili, riferite la periodo che va dal 1990 al 2002 pag. 45 15. Diagramma solare di tipo polare realizzato sulle coordinate geografiche della città di Monza pag. 46 16. Immagine Occhio pollino all'interno del terrazzo di Villa Reale pag. 48 17. Immagine Suddivisione del territorio comunale in aree con caratteri litologico-tecnici del substrato assimilabili tra loro pag. 49 18. Fotografia del punto di intersezione tra il corso naturale del Fiume Lambro e il Canale Villoresi pag. 51 19. Immagine Confronto tra le aree allegate all'interno del tessuto di Monza durante le piene del 1976 (arancio) e del 2002 (blu rigato) pag. 51 20. Fotografia Il Canale Villoresi con l'acqua pag. 52 21. Fotografia Il Canale Villoresi con l'acqua pag. 52 22. Fotografia Il Canale Villoresi con l'acqua pag. 52 23. Fotografia Il Canale Villoresi senza acqua pag. 52 24. Immagine Schema urbanistico del vicus di Modicia, M. David – E. Caglio pag. 53 25. Immagine Ricostruzione del vicus di Modicia tra il Il secolo e il Ill secolo, M. Dadiv – E. Caglio pag. 53 26. Fotografia La Corona Ferrea conservata nel Museo del Duomo di Monza pag. 54 27. Fotografia Torre di Teodolinda del XIII secolo in via Lambro pag. 55 29. Fotografia Torre di Teodolinda ele XIII secolo in via Lambro pag. 55 29. Fotografia Torre Viscontea in via Azzone Visconti pag. 56	8.	Immagine La Lombardia in Italia	pag.	
11. Immagine Suddivisione del territorio comunale di Monza in circoscrizioni pag. 42 12. Immagine Aerea di Monza riportante i paesi confinanti pag. 42 13. Istogramma con le precipitazioni totali annuali per ultimo ventennio (dal 1980 al 2002 per la stazione di Monza Frisi) pag. 44 14. Grafico a linee delle Temperature medie mensili, riferite la periodo che va dal 1990 al 2002 pag. 45 15. Diagramma solare di tipo polare realizzato sulle coordinate geografiche della città di Monza pag. 46 16. Immagine Occhio pollino all'interno del terrazzo di Villa Reale pag. 48 17. Immagine Suddivisione del territorio comunale in aree con caratteri litologico-tecnici del substrato assimilabili tra loro pag. 49 18. Fotografia del punto di intersezione tra il corso naturale del Fiume Lambro e il Canale Villoresi pag. 51 19. Immagine Confronto tra le aree allegate all'interno del tessuto di Monza durante le piene del 1976 (arancio) e del 2002 (blu rigato) pag. 51 20. Fotografia Il Canale Villoresi con l'acqua pag. 52 21. Fotografia Il Canale Villoresi senza acqua pag. 52 22. Fotografia Il Canale Villoresi senza acqua pag. 52 23. Fotografia Il I laghetto sportivo della Boscherona con la tubazione che immette le acqua dal canale Villoresi pag. 52 24. Immagine Schema urbanistico del vicus di Modicia, M. David – E. Caglio pag. 53 25. Immagine Ricostruzione del vicus di Modicia tra il Il secolo e il III secolo, M. Dadiv – E. Caglio pag. 53 26. Fotografia La Corona Ferrea conservata nel Museo del Duomo di Monza pag. 54 27. Fotografia Il palazzo dell'Arengario nel centro storico di Monza pag. 55 28. Fotografia Torre di Teodolinda del XIII secolo in via Lambro pag. 55 29. Fotografia Torre di Teodolinda del XIII secolo in via Lambro pag. 55 30. Fotografia Torre Viscontea in via Azzone Visconti	9.	Immagine La provincia di Monza e Brianza in Lombardia	pag.	
12. Immagine Aerea di Monza riportante i paesi confinanti pag. 42  13. Istogramma con le precipitazioni totali annuali per ultimo ventennio (dal 1980 al 2002 per la stazione di Monza Frisi) pag. 44  14. Grafico a linee delle Temperature medie mensili, riferite la periodo che va dal 1990 al 2002 pag. 45  15. Diagramma solare di tipo polare realizzato sulle coordinate geografiche della città di Monza pag. 46  16. Immagine Occhio pollino all'interno del terrazzo di Villa Reale pag. 48  17. Immagine Suddivisione del territorio comunale in aree con caratteri litologico-tecnici del substrato assimilabili tra loro pag. 49  18. Fotografia del punto di intersezione tra il corso naturale del Fiume Lambro e il Canale Villoresi pag. 51  19. Immagine Confronto tra le aree allegate all'interno del tessuto di Monza durante le piene del 1976 (arancio) e del 2002 (blu rigato) pag. 51  20. Fotografia Il Canale Villoresi con l'acqua pag. 52  21. Fotografia Il Canale Villoresi con l'acqua pag. 52  22. Fotografia Il Canale Villoresi senza acqua pag. 52  23. Fotografia Il Canale Villoresi senza acqua pag. 52  24. Immagine Schema urbanistico del vicus di Modicia, M. David – E. Caglio pag. 53  25. Immagine Ricostruzione del vicus di Modicia tra il Il secolo e il III secolo e il III secolo, M. Dadiv – E. Caglio pag. 53  26. Fotografia La Corona Ferrea conservata nel Museo del Duomo di Monza pag. 54  27. Fotografia Torre di Teodolinda del XIII secolo in via Lambro pag. 55  28. Fotografia Torre di Teodolinda del XIII secolo in via Lambro pag. 55  29. Fotografia Torre di Teodolinda del XIII secolo in via Lambro pag. 55  29. Fotografia Torre viscontea in via Azzone Visconti pag. 56		•	pag.	41
13. Istogramma con le precipitazioni totali annuali per ultimo ventennio (dal 1980 al 2002 per la stazione di Monza Frisi)  14. Grafico a linee delle Temperature medie mensili, riferite la periodo che va dal 1990 al 2002  15. Diagramma solare di tipo polare realizzato sulle coordinate geografiche della città di Monza pag. 46 pag. 47. Immagine Occhio pollino all'interno del terrazzo di Villa Reale pag. 48 pag. 48 pag. 48 pag. 48 pag. 48 pag. 48 pag. 49 pag. 51 pag. 51 pag. 51 pag. 51 pag. 52 pag. 53 pag. 55		in circoscrizioni	pag.	42
ventennio (dal 1980 al 2002 per la stazione di Monza Frisi)  14. Grafico a linee delle Temperature medie mensili, riferite la periodo che va dal 1990 al 2002  15. Diagramma solare di tipo polare realizzato sulle coordinate geografiche della città di Monza 16. Immagine Occhio pollino all'interno del terrazzo di Villa Reale 17. Immagine Suddivisione del territorio comunale in aree con caratteri litologico-tecnici del substrato assimilabili tra loro 18. Fotografia del punto di intersezione tra il corso naturale del Fiume Lambro e il Canale Villoresi 19. Immagine Confronto tra le aree allegate all'interno del tessuto di Monza durante le piene del 1976 (arancio) e del 2002 (blu rigato) pag. 51  20. Fotografia Il Canale Villoresi con l'acqua pag. 52 21. Fotografia Il Canale Villoresi senza acqua pag. 52 22. Fotografia Il Canale Villoresi senza acqua pag. 52 23. Fotografia Il laghetto sportivo della Boscherona con la tubazione che immette le acqua dal canale Villoresi pag. 52 24. Immagine Schema urbanistico del vicus di Modicia, M. David – E. Caglio e il III secolo e il III secolo e il III secolo del Duomo di Monza pag. 53 26. Fotografia La Corona Ferrea conservata nel Museo del Duomo di Monza pag. 53 pag. 55 pag. 55 pag. 55 pag. 55 potografia Torre di Teodolinda del XIII secolo in via Lambro pag. 55 pag. 55 pag. 55 pag. 55 pag. 56		• • • • • • • • • • • • • • • • • • • •	pag.	42
riferite la periodo che va dal 1990 al 2002 pag. 45  15. Diagramma solare di tipo polare realizzato sulle coordinate geografiche della città di Monza pag. 46  16. Immagine Occhio pollino all'interno del terrazzo di Villa Reale pag. 48  17. Immagine Suddivisione del territorio comunale in aree con caratteri litologico-tecnici del substrato assimilabili tra loro pag. 49  18. Fotografia del punto di intersezione tra il corso naturale del Fiume Lambro e il Canale Villoresi pag. 51  19. Immagine Confronto tra le aree allegate all'interno del tessuto di Monza durante le piene del 1976 (arancio) e del 2002 (blu rigato) pag. 51  20. Fotografia Il Canale Villoresi con l'acqua pag. 52  21. Fotografia Il Canale Villoresi con l'acqua pag. 52  22. Fotografia Il Canale Villoresi senza acqua pag. 52  23. Fotografia Il laghetto sportivo della Boscherona con la tubazione che immette le acqua dal canale Villoresi pag. 52  24. Immagine Schema urbanistico del vicus di Modicia, M. David – E. Caglio pag. 53  25. Immagine Ricostruzione del vicus di Modicia tra il Il secolo e il III secolo e il III secolo, M. Dadiv – E. Caglio pag. 53  26. Fotografia La Corona Ferrea conservata nel Museo del Duomo di Monza pag. 54  27. Fotografia Torre di Teodolinda del XIII secolo in via Lambro pag. 55  29. Fotografia Torre di Teodolinda del XIII secolo in via Lambro pag. 55  29. Fotografia Torre Viscontea in via Azzone Visconti pag. 56	14.		pag.	44
15. Diagramma solare di tipo polare realizzato sulle coordinate geografiche della città di Monza pag. 46 16. Immagine Occhio pollino all'interno del terrazzo di Villa Reale pag. 48 17. Immagine Suddivisione del territorio comunale in aree con caratteri litologico-tecnici del substrato assimilabili tra loro pag. 49 18. Fotografia del punto di intersezione tra il corso naturale del Fiume Lambro e il Canale Villoresi pag. 51 19. Immagine Confronto tra le aree allegate all'interno del tessuto di Monza durante le piene del 1976 (arancio) e del 2002 (blu rigato) pag. 51 20. Fotografia Il Canale Villoresi con l'acqua pag. 52 21. Fotografia Il Canale Villoresi senza acqua pag. 52 22. Fotografia Il Canale Villoresi senza acqua pag. 52 23. Fotografia Il laghetto sportivo della Boscherona con la tubazione che immette le acqua dal canale Villoresi pag. 52 24. Immagine Schema urbanistico del vicus di Modicia,  M. David – E. Caglio pag. 53 25. Immagine Ricostruzione del vicus di Modicia tra il Il secolo e il Ill secolo, M. Dadiv – E. Caglio pag. 53 26. Fotografia La Corona Ferrea conservata nel Museo  del Duomo di Monza pag. 53 27. Fotografia Torre di Teodolinda del XIII secolo in via Lambro pag. 55 29. Fotografia Duomo di Monza pag. 55 30. Fotografia Torre Viscontea in via Azzone Visconti pag. 56			pag.	45
geografiche della città di Monza pag. 46  16. Immagine Occhio pollino all'interno del terrazzo di Villa Reale pag. 48  17. Immagine Suddivisione del territorio comunale in aree con caratteri litologico-tecnici del substrato assimilabili tra loro pag. 49  18. Fotografia del punto di intersezione tra il corso naturale del Fiume Lambro e il Canale Villoresi pag. 51  19. Immagine Confronto tra le aree allegate all'interno del tessuto di Monza durante le piene del 1976 (arancio) e del 2002 (blu rigato) pag. 51  20. Fotografia Il Lambro poco a monte della confluenza con la roggia Lupa pag. 52  21. Fotografia Il Canale Villoresi senza acqua pag. 52  22. Fotografia Il Canale Villoresi senza acqua pag. 52  23. Fotografia Il laghetto sportivo della Boscherona con la tubazione che immette le acqua dal canale Villoresi pag. 52  24. Immagine Schema urbanistico del vicus di Modicia, M. David – E. Caglio pag. 53  25. Immagine Ricostruzione del vicus di Modicia tra il Il secolo e il Ill secolo, M. Dadiv – E. Caglio pag. 53  26. Fotografia La Corona Ferrea conservata nel Museo del Duomo di Monza pag. 53  27. Fotografia Il palazzo dell'Arengario nel centro storico di Monza pag. 54  28. Fotografia Torre di Teodolinda del XIII secolo in via Lambro pag. 55  29. Fotografia Torre Viscontea in via Azzone Visconti pag. 56	15.	Diagramma solare di tipo polare realizzato sulle coordinate		
16. Immagine Occhio pollino all'interno del terrazzo di Villa Reale 17. Immagine Suddivisione del territorio comunale in aree con caratteri litologico-tecnici del substrato assimilabili tra loro 18. Fotografia del punto di intersezione tra il corso naturale del Fiume Lambro e il Canale Villoresi 19. Immagine Confronto tra le aree allegate all'interno del tessuto di Monza durante le piene del 1976 (arancio) e del 2002 (blu rigato) pag. 51  20. Fotografia Il Lambro poco a monte della confluenza con la roggia Lupa pag. 52 21. Fotografia Il Canale Villoresi con l'acqua pag. 52 22. Fotografia Il Canale Villoresi senza acqua pag. 52 23. Fotografia Il laghetto sportivo della Boscherona con la tubazione che immette le acqua dal canale Villoresi 24. Immagine Schema urbanistico del vicus di Modicia, M. David – E. Caglio pag. 53  25. Immagine Ricostruzione del vicus di Modicia tra il Il secolo e il III secolo, M. Dadiv – E. Caglio pag. 53  26. Fotografia Il palazzo dell'Arengario nel centro storico di Monza pag. 53  27. Fotografia Torre di Teodolinda del XIII secolo in via Lambro pag. 55		· ·	pag.	46
17. Immagine Suddivisione del territorio comunale in aree con caratteri litologico-tecnici del substrato assimilabili tra loro pag. 49  18. Fotografia del punto di intersezione tra il corso naturale del Fiume Lambro e il Canale Villoresi pag. 51  19. Immagine Confronto tra le aree allegate all'interno del tessuto di Monza durante le piene del 1976 (arancio) e del 2002 (blu rigato) pag. 51  20. Fotografia Il Lambro poco a monte della confluenza con la roggia Lupa pag. 52  21. Fotografia Il Canale Villoresi con l'acqua pag. 52  22. Fotografia Il Canale Villoresi senza acqua pag. 52  23. Fotografia Il laghetto sportivo della Boscherona con la tubazione che immette le acqua dal canale Villoresi pag. 52  24. Immagine Schema urbanistico del vicus di Modicia, M. David – E. Caglio pag. 53  25. Immagine Ricostruzione del vicus di Modicia tra il Il secolo e il III secolo, M. Dadiv – E. Caglio pag. 53  26. Fotografia La Corona Ferrea conservata nel Museo del Duomo di Monza pag. 54  27. Fotografia Il palazzo dell'Arengario nel centro storico di Monza pag. 55  28. Fotografia Torre di Teodolinda del XIII secolo in via Lambro pag. 55  29. Fotografia Torre Viscontea in via Azzone Visconti pag. 56	16.			48
caratteri litologico-tecnici del substrato assimilabili tra loro  18. Fotografia del punto di intersezione tra il corso naturale del Fiume Lambro e il Canale Villoresi  19. Immagine Confronto tra le aree allegate all'interno del tessuto di Monza durante le piene del 1976 (arancio) e del 2002 (blu rigato) pag. 51  20. Fotografia Il Lambro poco a monte della confluenza con la roggia Lupa pag. 52 21. Fotografia Il Canale Villoresi con l'acqua pag. 52 22. Fotografia Il Canale Villoresi senza acqua pag. 52 23. Fotografia Il I laghetto sportivo della Boscherona con la tubazione che immette le acqua dal canale Villoresi pag. 52 24. Immagine Schema urbanistico del vicus di Modicia, M. David – E. Caglio e il III secolo e il III secolo, M. Dadiv – E. Caglio pag. 53  25. Immagine Ricostruzione del vicus di Modicia tra il II secolo del Duomo di Monza del Duomo di Monza pag. 53 27. Fotografia Il palazzo dell'Arengario nel centro storico di Monza pag. 55 29. Fotografia Torre di Teodolinda del XIII secolo in via Lambro pag. 55 pag. 55 pag. 55		•		
18. Fotografia del punto di intersezione tra il corso naturale del Fiume Lambro e il Canale Villoresi pag. 51  19. Immagine Confronto tra le aree allegate all'interno del tessuto di Monza durante le piene del 1976 (arancio) e del 2002 (blu rigato) pag. 51  20. Fotografia Il Lambro poco a monte della confluenza con la roggia Lupa pag. 52  21. Fotografia Il Canale Villoresi con l'acqua pag. 52  22. Fotografia Il Canale Villoresi senza acqua pag. 52  23. Fotografia Il laghetto sportivo della Boscherona con la tubazione che immette le acqua dal canale Villoresi pag. 52  24. Immagine Schema urbanistico del vicus di Modicia, M. David – E. Caglio pag. 53  25. Immagine Ricostruzione del vicus di Modicia tra il Il secolo e il III secolo, M. Dadiv – E. Caglio pag. 53  26. Fotografia La Corona Ferrea conservata nel Museo del Duomo di Monza pag. 53  27. Fotografia Il palazzo dell'Arengario nel centro storico di Monza pag. 54  28. Fotografia Torre di Teodolinda del XIII secolo in via Lambro pag. 55  29. Fotografia Torre Viscontea in via Azzone Visconti pag. 56		<del>-</del>	pag.	49
Fiume Lambro e il Canale Villoresi pag. 51  19. Immagine Confronto tra le aree allegate all'interno del tessuto di Monza durante le piene del 1976 (arancio) e del 2002 (blu rigato) pag. 51  20. Fotografia Il Lambro poco a monte della confluenza con la roggia Lupa pag. 52  21. Fotografia Il Canale Villoresi con l'acqua pag. 52  22. Fotografia Il Canale Villoresi senza acqua pag. 52  23. Fotografia Il Iaghetto sportivo della Boscherona con la tubazione che immette le acqua dal canale Villoresi pag. 52  24. Immagine Schema urbanistico del vicus di Modicia, M. David – E. Caglio pag. 53  25. Immagine Ricostruzione del vicus di Modicia tra il Il secolo e il III secolo, M. Dadiv – E. Caglio pag. 53  26. Fotografia La Corona Ferrea conservata nel Museo del Duomo di Monza pag. 53  27. Fotografia Il palazzo dell'Arengario nel centro storico di Monza pag. 54  28. Fotografia Torre di Teodolinda del XIII secolo in via Lambro pag. 55  29. Fotografia Torre Viscontea in via Azzone Visconti pag. 56	18.		13-	
19. Immagine Confronto tra le aree allegate all'interno del tessuto di Monza durante le piene del 1976 (arancio) e del 2002 (blu rigato) pag. 51  20. Fotografia II Lambro poco a monte della confluenza con la roggia Lupa pag. 52  21. Fotografia II Canale Villoresi con l'acqua pag. 52  22. Fotografia II Canale Villoresi senza acqua pag. 52  23. Fotografia II laghetto sportivo della Boscherona con la tubazione che immette le acqua dal canale Villoresi pag. 52  24. Immagine Schema urbanistico del vicus di Modicia, M. David – E. Caglio pag. 53  25. Immagine Ricostruzione del vicus di Modicia tra il II secolo e il III secolo, M. Dadiv – E. Caglio pag. 53  26. Fotografia La Corona Ferrea conservata nel Museo del Duomo di Monza pag. 53  27. Fotografia II palazzo dell'Arengario nel centro storico di Monza pag. 54  28. Fotografia Torre di Teodolinda del XIII secolo in via Lambro pag. 55  29. Fotografia Torre Viscontea in via Azzone Visconti pag. 56		•	pag.	51
di Monza durante le piene del 1976 (arancio) e del 2002 (blu rigato) pag. 51  20. Fotografia II Lambro poco a monte della confluenza con la roggia Lupa pag. 52  21. Fotografia II Canale Villoresi con l'acqua pag. 52  22. Fotografia II Canale Villoresi senza acqua pag. 52  23. Fotografia II laghetto sportivo della Boscherona con la tubazione che immette le acqua dal canale Villoresi pag. 52  24. Immagine Schema urbanistico del vicus di Modicia, M. David – E. Caglio pag. 53  25. Immagine Ricostruzione del vicus di Modicia tra il II secolo e il III secolo, M. Dadiv – E. Caglio pag. 53  26. Fotografia La Corona Ferrea conservata nel Museo del Duomo di Monza pag. 53  27. Fotografia II palazzo dell'Arengario nel centro storico di Monza pag. 54  28. Fotografia Torre di Teodolinda del XIII secolo in via Lambro pag. 55  29. Fotografia Torre Viscontea in via Azzone Visconti pag. 56	19.		P - 3.	•
e del 2002 (blu rigato) pag. 51  20. Fotografia II Lambro poco a monte della confluenza con la roggia Lupa pag. 52  21. Fotografia II Canale Villoresi con l'acqua pag. 52  22. Fotografia II Canale Villoresi senza acqua pag. 52  23. Fotografia II laghetto sportivo della Boscherona con la tubazione che immette le acqua dal canale Villoresi pag. 52  24. Immagine Schema urbanistico del vicus di Modicia, M. David – E. Caglio pag. 53  25. Immagine Ricostruzione del vicus di Modicia tra il II secolo e il III secolo, M. Dadiv – E. Caglio pag. 53  26. Fotografia La Corona Ferrea conservata nel Museo del Duomo di Monza pag. 53  27. Fotografia II palazzo dell'Arengario nel centro storico di Monza pag. 54  28. Fotografia Torre di Teodolinda del XIII secolo in via Lambro pag. 55  29. Fotografia Duomo di Monza pag. 55  30. Fotografia Torre Viscontea in via Azzone Visconti pag. 56		<u> </u>		
20. Fotografia II Lambro poco a monte della confluenza con  la roggia Lupa pag. 52 21. Fotografia II Canale Villoresi con l'acqua pag. 52 22. Fotografia II Canale Villoresi senza acqua pag. 52 23. Fotografia II laghetto sportivo della Boscherona con la tubazione che immette le acqua dal canale Villoresi pag. 52 24. Immagine Schema urbanistico del vicus di Modicia,  M. David – E. Caglio pag. 53 25. Immagine Ricostruzione del vicus di Modicia tra il II secolo  e il III secolo, M. Dadiv – E. Caglio pag. 53 26. Fotografia La Corona Ferrea conservata nel Museo  del Duomo di Monza pag. 53 27. Fotografia II palazzo dell'Arengario nel centro storico di Monza pag. 54 28. Fotografia Torre di Teodolinda del XIII secolo in via Lambro pag. 55 29. Fotografia Duomo di Monza pag. 55 30. Fotografia Torre Viscontea in via Azzone Visconti pag. 56			nag	51
la roggia Lupa pag. 52 21. Fotografia II Canale Villoresi con l'acqua pag. 52 22. Fotografia II Canale Villoresi senza acqua pag. 52 23. Fotografia II laghetto sportivo della Boscherona con la tubazione che immette le acqua dal canale Villoresi pag. 52 24. Immagine Schema urbanistico del vicus di Modicia,  M. David – E. Caglio pag. 53 25. Immagine Ricostruzione del vicus di Modicia tra il II secolo e il III secolo, M. Dadiv – E. Caglio pag. 53 26. Fotografia La Corona Ferrea conservata nel Museo  del Duomo di Monza pag. 53 27. Fotografia II palazzo dell'Arengario nel centro storico di Monza pag. 54 28. Fotografia Torre di Teodolinda del XIII secolo in via Lambro pag. 55 29. Fotografia Duomo di Monza pag. 55 30. Fotografia Torre Viscontea in via Azzone Visconti pag. 56	20	` ,	pag.	•
21. Fotografia II Canale Villoresi con l'acqua pag. 52 22. Fotografia II Canale Villoresi senza acqua pag. 52 23. Fotografia II laghetto sportivo della Boscherona con la tubazione che immette le acqua dal canale Villoresi pag. 52 24. Immagine Schema urbanistico del vicus di Modicia,  M. David – E. Caglio pag. 53 25. Immagine Ricostruzione del vicus di Modicia tra il II secolo e il III secolo, M. Dadiv – E. Caglio pag. 53 26. Fotografia La Corona Ferrea conservata nel Museo  del Duomo di Monza pag. 53 27. Fotografia II palazzo dell'Arengario nel centro storico di Monza pag. 54 28. Fotografia Torre di Teodolinda del XIII secolo in via Lambro pag. 55 29. Fotografia Duomo di Monza pag. 55 30. Fotografia Torre Viscontea in via Azzone Visconti pag. 56	20.	·	nag	52
22. Fotografia II Canale Villoresi senza acqua 23. Fotografia II laghetto sportivo della Boscherona con la tubazione che immette le acqua dal canale Villoresi 24. Immagine Schema urbanistico del vicus di Modicia, M. David – E. Caglio e il III secolo, M. Dadiv – E. Caglio pag. 53 25. Immagine Ricostruzione del vicus di Modicia tra il II secolo e il III secolo, M. Dadiv – E. Caglio pag. 53 26. Fotografia La Corona Ferrea conservata nel Museo del Duomo di Monza pag. 53 27. Fotografia II palazzo dell'Arengario nel centro storico di Monza pag. 54 28. Fotografia Torre di Teodolinda del XIII secolo in via Lambro pag. 55 29. Fotografia Duomo di Monza pag. 55 30. Fotografia Torre Viscontea in via Azzone Visconti	21	•	_	
23. Fotografia II laghetto sportivo della Boscherona con la tubazione che immette le acqua dal canale Villoresi pag. 52  24. Immagine Schema urbanistico del vicus di Modicia,  M. David – E. Caglio pag. 53  25. Immagine Ricostruzione del vicus di Modicia tra il II secolo e il III secolo, M. Dadiv – E. Caglio pag. 53  26. Fotografia La Corona Ferrea conservata nel Museo del Duomo di Monza pag. 53  27. Fotografia II palazzo dell'Arengario nel centro storico di Monza pag. 54  28. Fotografia Torre di Teodolinda del XIII secolo in via Lambro pag. 55  29. Fotografia Duomo di Monza pag. 55  30. Fotografia Torre Viscontea in via Azzone Visconti pag. 56		•	. •	
tubazione che immette le acqua dal canale Villoresi pag. 52  24. Immagine Schema urbanistico del vicus di Modicia,  M. David – E. Caglio pag. 53  25. Immagine Ricostruzione del vicus di Modicia tra il II secolo  e il III secolo, M. Dadiv – E. Caglio pag. 53  26. Fotografia La Corona Ferrea conservata nel Museo  del Duomo di Monza pag. 53  27. Fotografia II palazzo dell'Arengario nel centro storico di Monza pag. 54  28. Fotografia Torre di Teodolinda del XIII secolo in via Lambro pag. 55  29. Fotografia Duomo di Monza pag. 55  30. Fotografia Torre Viscontea in via Azzone Visconti pag. 56		•	pag.	02
24. Immagine Schema urbanistico del vicus di Modicia,  M. David – E. Caglio pag. 53  25. Immagine Ricostruzione del vicus di Modicia tra il II secolo  e il III secolo, M. Dadiv – E. Caglio pag. 53  26. Fotografia La Corona Ferrea conservata nel Museo  del Duomo di Monza pag. 53  27. Fotografia II palazzo dell'Arengario nel centro storico di Monza pag. 54  28. Fotografia Torre di Teodolinda del XIII secolo in via Lambro pag. 55  29. Fotografia Duomo di Monza pag. 55  30. Fotografia Torre Viscontea in via Azzone Visconti pag. 56	20.	•	nag	52
M. David – E. Caglio pag. 53  25. Immagine Ricostruzione del vicus di Modicia tra il II secolo e il III secolo, M. Dadiv – E. Caglio pag. 53  26. Fotografia La Corona Ferrea conservata nel Museo del Duomo di Monza pag. 53  27. Fotografia II palazzo dell'Arengario nel centro storico di Monza pag. 54  28. Fotografia Torre di Teodolinda del XIII secolo in via Lambro pag. 55  29. Fotografia Duomo di Monza pag. 55  30. Fotografia Torre Viscontea in via Azzone Visconti pag. 56	24	·	pag.	UL
25. Immagine Ricostruzione del vicus di Modicia tra il II secolo e il III secolo, M. Dadiv – E. Caglio pag. 53 26. Fotografia La Corona Ferrea conservata nel Museo del Duomo di Monza pag. 53 27. Fotografia II palazzo dell'Arengario nel centro storico di Monza pag. 54 28. Fotografia Torre di Teodolinda del XIII secolo in via Lambro pag. 55 29. Fotografia Duomo di Monza pag. 55 30. Fotografia Torre Viscontea in via Azzone Visconti pag. 56	۷٦.	·	nan	53
e il III secolo, M. Dadiv – E. Caglio pag. 53  26. Fotografia La Corona Ferrea conservata nel Museo del Duomo di Monza pag. 53  27. Fotografia II palazzo dell'Arengario nel centro storico di Monza pag. 54  28. Fotografia Torre di Teodolinda del XIII secolo in via Lambro pag. 55  29. Fotografia Duomo di Monza pag. 55  30. Fotografia Torre Viscontea in via Azzone Visconti pag. 56	25		pag.	55
26. Fotografia La Corona Ferrea conservata nel Museo del Duomo di Monza pag. 53 27. Fotografia II palazzo dell'Arengario nel centro storico di Monza pag. 54 28. Fotografia Torre di Teodolinda del XIII secolo in via Lambro pag. 55 29. Fotografia Duomo di Monza pag. 55 30. Fotografia Torre Viscontea in via Azzone Visconti pag. 56	25.		naa	53
del Duomo di Monza pag. 53 27. Fotografia II palazzo dell'Arengario nel centro storico di Monza pag. 54 28. Fotografia Torre di Teodolinda del XIII secolo in via Lambro pag. 55 29. Fotografia Duomo di Monza pag. 55 30. Fotografia Torre Viscontea in via Azzone Visconti pag. 56	26	· · · · · · · · · · · · · · · · · · ·	pay.	55
<ul> <li>27. Fotografia II palazzo dell'Arengario nel centro storico di Monza pag.</li> <li>28. Fotografia Torre di Teodolinda del XIII secolo in via Lambro pag.</li> <li>29. Fotografia Duomo di Monza pag.</li> <li>30. Fotografia Torre Viscontea in via Azzone Visconti pag.</li> <li>56</li> </ul>	20.		naa	53
28. Fotografia Torre di Teodolinda del XIII secolo in via Lambropag.5529. Fotografia Duomo di Monzapag.5530. Fotografia Torre Viscontea in via Azzone Viscontipag.56	27		_	
<ul> <li>29. Fotografia Duomo di Monza</li> <li>30. Fotografia Torre Viscontea in via Azzone Visconti</li> <li>pag. 55</li> <li>pag. 56</li> </ul>				
30. Fotografia Torre Viscontea in via Azzone Visconti pag. 56		<u> </u>		
		· · · · · · · · · · · · · · · · · · ·	_	
31. IIIIIIagine Pietro Antonio Barca, Corso del fiume Lambro ed			pag.	90
	٥١.	inimagine Pietro Antonio Barca, Corso dei fiume Lambro ed		

	utilizzo delle sue acque", disegno a penna, 1615, Milano,		
	Archivio di Stato, Miscellanea, mappe e disegni	pag.	56
32.	Fotografia Villa Reale	pag.	56
	Immagine Giulio Cesare Bianchi, "Veduta delle mura presso	. •	
	la Porta di Milano", Incisione, 1771, Milano,		
	Civica Raccolta Stampe A. Bertarelli	pag.	57
3/1	Immagine "Veduta dell'entrata in Monza dalla parte di Milano"	pag.	01
J <del>4</del> .	Incisione, 1790, Milano, Civica Raccolta Stampe A. Bertarelli	naa	57
25	· · · · · · · · · · · · · · · · · · ·	pag.	
	Immagine Aerea delle aree di intervento	pag.	82
30.	Immagine Aerea del lotto dell'ex filatura meccanica		00
	Fossati & Lamperti	pag.	82
Con	0000n70 F		
	oscenza 5		101
	Immagine Balle di cotone compresso	pag.	121
	Immagine Cotone pronto per la cardatura	pag.	121
	Fotografia Antico telaio meccanico, 1922	pag.	122
	Fotografia Telaio del tipo "battente e pettine" in funzione	pag.	122
	Immagine Macchina cardatrice del 1953	pag.	123
42.	Immagine Macchina per imbozzatura del 1953	pag.	123
43.	Immagine Sala per telai, 1953	pag.	123
44.	Immagine Diagramma della lavorazione del cotone	pag.	124
	Immagine Ex Pastori e Casanova	pag.	127
	Immagine Ex Cascamificio di via Piave	pag.	127
	Immagine Ex C.G.S.	pag.	127
	Schema ed Immagine tipologia capannone a shed	pag.	130
	Schema ed Immagine tipologia capannone	pag.	100
₩3.	con lucernario di colmo	naa	130
50	Schema ed Immagine tipologia capannone a voltine	pag.	130
	· · · · · · · · · · · · · · · · · · ·	pag.	
	Schema ed Immagine tipologia capannone ad archi	pag.	131
	Schema ed Immagine tipologia capannone basilicale	pag.	131
	Schema ed Immagine tipologia edificio pluripiano	pag.	131
	Immagine Estratto del catasto teresiano, 1716-1760	pag.	138
	Immagine Estratto del catasto Lombardo Vento del 1853	pag.	138
56.	Immagine Carta Intestata della Ditta Fossati&Lamperti		
	di inizio 1900	pag.	138
57.	Immagine Particolare del catasto Lombardo Vento del 1853		
	Raffigurante il Mulino San Lorenzo	pag.	139
58.	Immagine Particolare del Catasto Cessato del 1903		
	raffigurante l'area della Fossati Lamperti	pag.	139
59.	Fotografia Vista dell'interrato con le opere di consolidamento	pag.	140
	Immagine Carta intestata della Ditta Cugini Fossati di	P - 9	
٠٠.	Felice Fossati (1881), si noti la struttura della fabbrica	pag.	141
61	Immagine Planimetria della fabbrica Fossati Lamperti nel 1920	pag.	142
	Immagine Progetto di rifunzionalizzazione		144
		pag.	
03.	Immagine Aerea del lotto di intervento	pag.	148
Con	oscenza Complesso Edilizio F 8		
	Schema del procedimento analitico per la "conoscenza"		
∪ <del>1</del> .	della fabbrica	nad	194
	uella labbilca	pag.	134

Processi Diagnostici 9			040
65. Schema diverse scale di approccio ne		pag.	216
66. Immagine Scheda Tipo Rilievo Stato	•	pag.	219
67. Immagine Scheda Tipo Proposte di U	iteriori indagini	pag.	220
Progetto di Recupero 11			
68. Immgine Baukasten im Grossen, Wal	ter Gronius	pag.	251
69. Immagine Maison du Peuple, Jean Pr		pag.	252
70. Immagine Maison du Peuple, Vista in		pag.	253
71. Immagine Maison du Peuple, Sezione		pag.	253
72. Immagine Particolare facciata Edificio	. •	pag.	200
7.2. mmagine r articolare racolata Zamele	piazza Mozart, Parigi	pag.	254
73. Immagine Edificio V, Unesco, Parigi	process mozart, rangi	pag.	254
74. Immagine Aviorimessa di Orvieto		pag.	255
75. Immagine Stadio Comunale di Firenz	e	pag.	255
76. Immagine Palazzetto dello Sport di R		pag.	256
77. Immagine Palazzo delle Esposizioni d		pag.	256
78. Immagine Palazzo del Lavoro di Torir		pag.	256
79. Immagine Hong Kong & Shangai Ban		pag.	256
80. Immagine Grandes Serres	т, тар	pag.	257
81. Immagine Beaubourg, Parigi		pag.	257
82. Immagine Padiglione IMB di Piano		pag.	257
83. Immagine Padiglione Portogallo expo	1998 A Siza	pag.	257
84. Immagine Padiglione Portogallo expo		pag.	257
85. Immagine China Central Televizion di		pag.	258
86. Immagine Ponte Alameda a Valencia		pag.	258
87. Immagine Complesso direzionale e p		pag.	200
• •	a Buenos Aires di Zanuso	pag.	259
88. Immagine Complesso direzionale e p		P - 3.	
•	a Buenos Aires di Zanuso	pag.	259
89. Fotografia Chiesa di Baranzate di Ma		pag.	260
90. Immagine Laboratori Richards di Luis		pag.	260
91. Immagine Laboratori Richards di Luis		pag.	260
92. Immagine Walt Disney concert hall a		pag.	260
93. Immagine Swiss re a Londra di Foste		pag.	261
94. Immagine Swiss re a Londra di Foste		pag.	261
95. Immagine Prada Aoyama a Tokyo		pag.	262
96. Immagine Kunsthaus a Graz		pag.	262
97. Immagine Acquatic Center, Pechino		pag.	262
98. Fotografia II teatro di Marcello, Roma		pag.	263
99. Immagine La Basilica Palladiana, Vice		pag.	263
•			
Approfondimenti Ingegneristici 12			
100.Schema programma prestazionale		pag.	289
101. Schema articolazione e classificazion	e del sistema tecnologico	pag.	289
102.Immagine Italia – zone della neve		pag.	295
103. Schema delle combinazioni di carico		pag.	296
104. Schema delle combinazioni di carico	del tetto a più falde	pag.	296
105.Immagine Mappa del vento		pag.	298
106.Immagine Planivolumetrico riportante	•		004
4071	Complesso Edilizio F	pag.	301
107.Immagine Strutture metalliche del sol	aio tipo	pag.	303
Indice delle Immagini			407

108.Immagine Meccanismi di scambio termico ed igrotermico		
tra uomo,ambiente ed edificio	pag.	306
109.Immagine Carta Bioclimatica	pag.	308
110.Immagine Scala dell'inquinamento acustico	pag.	318
111.Immagine Modalità di propagazione dell'energia sonora	pag.	319
112.Immagine Propagazione dell'energia sonora per via diretta	pag.	319
113.Immagine Propagazione dell'energia sonora tra pereti divisorie	pag.	319
114.Immagine Propagazione dell'energia sonora per via strutturale	pag.	319
115.Immagine Grafico tempi di riverberazione in funzione del	pag.	010
volume delle sala	naa	321
116.Schema valutazione sicurezza al fuoco	pag.	329
	pag.	337
117. Immagine Schema del percorso solare	pag.	331
118.Immagine Rappresentazione delle tre componenti di radiazione		220
solare: diretta, diffusa e riflessa	pag.	338
119.Immagine Raffaello, Dama con liocorno	pag.	341
120.Immagine Cristallo in controluce	pag.	341
121.Immagine Rappresentazione sulla volta celeste della		0.40
luminanza in caso di cielo coperto	pag.	343
122.Immagine Rappresentazione sulla volta celeste della		
luminanza in caso di cielo sereno	pag.	344
Approfondimenti Impiantistici 13		
123. Schema fabbisogno energetico di un edificio	pag.	349
124.Immagine Planivolumetrico con identificazione delle zone		
dei due impianti di riscaldamento	pag.	351
125.Immagine Indice termico dell'edificio calcolato secondo i		
dati di Bolzano	pag.	354
126.Immagine Mozia	pag.	357
127. Immagine Grado di rendimento minimo CE alla pontezialità		
massima a carico ridotto (ad un carico pari al 30%)	pag.	358
128.Immagine Schema caldaia a condensazione	pag.	358
129.Immagine Temperatura di condensazione del vapore acqueo	pag.	358
130.Immagine Contenuto d'energia nei combustibili	pag.	359
131.Immagine Andamento dei rendimenti stagionali a carico		
parziale per diversi sistemi di riscaldamento	pag.	359
132.Immagine Pannelli radianti a soffitto [tipo DOMUS LIFE	pag.	360
133.Immagine Pannelli radianti a pavimento [tipo NEW FLOOR]	pag.	360
134.Immagine Esempio di diffusori a lunga portata	pag.	361
135.Immagine Schema dei collettori solari sottovuoto	pag.	363
136.Immagine Schema di funzionamento in serie	pag.	363
137.Immagine Schema di funzionamento dei collettori solari	pag.	364
138.Immagine Esempio di applicazione di collettori a tubi		365
	pag.	303
139.Immagine Flusso di energia tra il Sole, l'atmosfera e la	200	266
superficie terrestre	pag.	366
140.Immagine Schema di funzionamento di una cella	pag.	370
141.Immagine Cella Monocristallina	pag.	371
142.Immagine Cella Policristallina	pag.	371
143.Immagine Cella Amorfa	pag.	371
144.Immagine L'effetto fotovoltaico permette di trasformare la		
radiazione solare in energia elettrica attraverso l'uso di		_
celle fotovoltaiche composte da un semiconduttore	pag.	371

	145. Immagine Schema di funzionamento di un impianto isolato 146.Immagine Schema di funzionamento di un impianto	pag.	372
	connesso alla rete 147.Immagine Funzionamento Lamelle solari installate	pag.	372
	sull'Edificio F3	pag.	376
	Flessibilità 14		202
	148.Immagine Habitat 21 149.Immagine Schemi aggregativi Habitat 21	pag. pag.	383 383
	Troininagno conomi aggregativi rabitat 21	pag.	000
	Attuazione 15		
	150.Immagine Schizzo con situazione attuale 151.Immagine Schizzo con mantenimento parziale del sedime	pag.	396
	della ferrovia e realizzazione del progetto	pag.	396
	152. Schizzo con conversione totale del semide delle ferrovia	pag.	397
	153.Immagine Aerea Ex Cotonificio Fossati&Lamperti	pag.	398
,	March 47		
	Allegati 17 154. Immagine Tavole progetto "GRAFFA"	naa	424
	155. Immagine Tavole progetto "GNALLA"  155. Immagine Tavole progetto "LANDSCAPER"	pag. pag.	425
	156. Immagine Tavole progetto "URBAN WAVE"	pag.	426
	157. Immagine Tavola Storica "Il periodo romano e longobardo"	pag.	427
	158. Immagine Tavola Storica "Monza alla fine del primo millennio"	pag.	428
	159. Immagine Tavola Storico "Monza sede imperiale	1-5	
	dell'imperatore Federico Barbarossa"	pag.	429
	160. Immagine Tavola Storica "Monza verso la fine del XIII sec."	pag.	430
	161. Immagine Tavola Storica "Monza verso la fine del XIV sec."	pag.	431
	162. Immagine Tavola Storica "Carta Topografica dei		
	dintorni di Milano"	pag.	432
	163.Immagine Tavola Storica "Monza e il suo territorio"	pag.	435
	164. Immagine Tavola Storica "Pianta Topografica dei contorni di Milano"	200	436
	165.Immagine Tavola Storica "Particolare della Mappa Topografica	pag.	430
	della Villia Reale di Monza e con l'annessa città di Monza		
	e rispettivi d'intorni"	pag.	437
	166.Immagine Tavola Storica "Pianta Topografica di Monza	pag.	
	del 1897"	pag.	438
	167.Immagine Tavola Storica "Pianta Topografica di Monza		
	del 1904"	pag.	439
	168.Immagine Tavola Storica "Pianta Topografica di Monza		
	del 1920"	pag.	440
	169.Immagine Tavola Storica "Piano Regolatore di Monza		444
	del 1925"	pag.	441
	170. Immagine Tavola Storica "Concorso Piano Regolatore  1° Premio progetto C.M.N.P.22 – la nuova rete stradale"	naa	442
	171.Immagine Tavola Storica "Concorso Piano Regolatore	pag.	442
	1° Premio progetto C.M.N.P.22 – Planimetria centro cittadino'	'nag	443
	172.Immagine Tavola Storica "Piano Regolatore di Monza	pag.	
	del 1949"	pag.	444
	173.Immagine Tavola Storica "Pianta Topografica di Monza	. •	
	del 1950"	pag.	445
	174.Immagine Tavola Storica "Piano Regolatore di Monza		
	Indice delle Immagini		409

del 1959"	pag.	446
175.Immagine Tavola Storica "Piano Regolatore di Monza		
del 1964 – la viabilità generale"	pag.	447
176.Immagine Tavola Storica "Piano Regolatore di Monza		
del 1964 – la città di Monza"	pag.	448
177.Immagine Tavola Storica "Bozza del nuovo Piano Regolatore		
del 1985"	pag.	449
178.Immagine Tavola Storica "Pianta Topografica di Monza		
del 1994"	pag.	450
179.Immagine Tavola Storica "Piano Regolatore di Monza		
del 1997"	pag.	451

## Indice delle Tabelle

Acquisizione 1 1. Comparazione dei dati territoriali dei singoli Ambiti di Trasformazione oggetto di intervento 34 paq. Conoscenza 2 Città di Monza 2. La città di Monza in dati 42 pag. 3. Medie mensile periodiche delle precipitazioni suddivise per Decenni (dal 1880 al 1999) e medie mensili per il periodo 2000-2002, Stazione di Monza Frisi 44 pag. 4. Dati per il calcolo dell'intensità della radiazione solare pag. 47 5. Altezza solare 47 pag. 6. Angolo Azimutale solare 47 pag. Conoscenza 8 Complesso Edilizio F 7. Rilievo delle Anomalie pag. 207 Metaprogettazione 10 8. Individuazione delle attività funzionali 227 pag. 9. Parametri Benessere Acustico 233 pag. 10. Parametri Benessere Olfattivo 233 pag. 11. Parametri Benessere Igrometrico 233 pag. 12. Parametri Benessere Luminoso 233 pag. 13. Parametri Benessere Termico 233 pag. 14. Classificazione dei disturbi 233 pag. 15. Verifica dei Disturbi, dei Rumori, degli Odori e dei Vapori 234 pag. Approfondimenti Ingegneristici 12 16. Classificazione di riferimento per i sub sistemi tecnologici 290 pag. 17. Zona Nazionale I (Zone della Neve) pag. 295 18. Coefficiente di forma del carico neve – tetto a due falde 296 pag. 19. Coefficiente di forma del carico neve - tetto a più falde 296 pag. 20. Definizione di V<sub>ref</sub> 298 pag. 21. Coefficiente delle zone di vento 298 pag. 22. Definizione c<sub>e</sub> (z) pag. 299 23. Categorie del terreno e parametri relativi 299 pag. 24. Valori di to per le condizioni di benessere termico 307 pag. 25. Valori della Massa Efficace con inerzia quotidiana 313 pag. 26. Valori della Massa Efficace con inerzia seguenziale 313 pag. 27. Valori limite di Trasmittanza Termica Utile U 316 pag. 28. Velocità di propagazione del suono attraverso alcuni mezzi 317 pag. 29. Perdita di R<sub>w</sub> degli infissi dovuti alla permeabilità all'aria 320 pag. 30. Normative e indice di valutazione D<sub>nT.w</sub> 322 pag. 31. Sintesi delle norme UNI e ISO in tema di acustica 322 pag. 32. Misure minime di aerazione 325 pag. 33. Dimensioni comparto in funzione del tipo di protezione e del carico di incendio 326 pag. 34. Numero e dimensione uscite di sicurezza in funzione dell'affollamento e del tipo di rischio pag. 327

<ul> <li>35. Scelta della protezione attiva</li> <li>36. Zona A – calcolo del coefficiente di riduzione K</li> <li>37. Zona B – calcolo del coefficiente di riduzione K</li> <li>38. Zona A – determinazione classe di resistenza al fuoco</li> <li>39. Zona B – determinazione classe di resistenza al fuoco</li> <li>40. Valori dell'Altezza del Sole e dell'Azimut il 21 giugno</li> <li>41. Valore dell'Altezza del Sole e dell'Azimut il 21 dicembre</li> <li>42. Grandezze unità radiometriche ed unità fotometriche</li> <li>43. Coefficienti Efficienza Luminosa</li> </ul>	pag. pag. pag. pag. pag. pag. pag. pag.	328 331 331 331 336 336 340 344
Approfondimenti Impiantistici 13 44. Determinazione di a e della costante di tempo 45. Coefficienti correttivi per superfici non orizzontali	pag. pag.	353 374

## Indice delle Tavole

#### Oggetto della Tesi

TAV. 1. Individuazione delle Macroaree di Intervento

#### Acquisizione

- TAV. 2. Richieste Concorso Europan 7: Periferie IN
- TAV. 3. Analisi del Documento di Piano
- TAV. 4. Analisi Piano delle Regole e Ambiti di Trasformazione
- TAV. 5. Analisi Piano dei Servizi

#### Conoscenza

- TAV. 6. Inquadramento Storico: dalle origini al XIII secolo
- TAV. 7. Inquadramento Storico: dal XIV secolo alla prima metà del XIX secolo
- TAV. 8. Inquadramento Storico: dalla seconda metà del XIX secolo ad oggi
- TAV. 9. Inquadramento Urbanistico: dalle origini fino al XVIII secolo
- TAV. 10. Inquadramento Urbanistico: dal XVIII secolo alla prima

industrializzazione del 1904

- TAV. 11. Inquadramento Urbanistico: dal P.R.G. del 1925 al P.R.G. del 1971
- TAV. 12. Inquadramento Urbanistico: dal Piano dei Servizi del 1980 al P.G.T. Vigente
- TAV. 13. Assetto Viario
- TAV. 14. Emergenze Cittadine: architetture di carattere civile e storico
- TAV. 15. Emergenze Cittadine: architetture di carattere sportivo, sanitario e di culto
- TAV. 16. Dati Statistici
- TAV. 17. Studio dei Tessuti Cittadini
- TAV. 18. Immagine della città
- TAV. 19. Sito di Intervento: Macroarea A
- TAV. 20. Sito di Intervento: Macroaree B e C
- TAV. 21. Sito di Intervento: Macroarea D
- TAV. 22. Sito di Intervento: Macroarea E
- TAV. 23. Sito di Intervento: Macroarea F
- TAV. 24. Sito di Intervento: Macroaree G e H
- TAV. 25. Sito di Intervento: Macroarea I
- TAV. 26. Sito di Intervento: Macroarea J
- TAV. 27. Sito di Intervento: Macroarea K
- TAV. 28. Sito di Intervento: Macroarea L
- TAV. 29. Sito di Intervento: Macroarea M.
- TAV. 30. Interventi realizzati dall'amministrazione comunale

#### Sintesi alla scala urbana

- TAV. 31. Analisi F.D.O.M. del tessuto cittadino
- TAV. 32. Confronto di Scala
- TAV. 33. Casi Studio: Macroarea A
- TAV. 34. Casi Studio: Macroarea B
- TAV. 35. Casi Studio: Macroarea C
- TAV. 36. Casi Studio: Macroarea D
- TAV. 37. Casi Studio: Macroarea E
- TAV. 38. Casi Studio: Macroarea F
- TAV. 39. Casi Studio: Macroarea G

- TAV. 40. Casi Studio: Macroarea H
- TAV. 41. Casi Studio: Macroarea I
- TAV. 42. Casi Studio: Macroarea J
- TAV. 43. Casi Studio: Macroarea K
- TAV. 44. Casi Studio: Macroarea L
- TAV. 45. Casi Studio: Macroarea M.
- TAV. 46. Riepilogativo Funzioni da insediare
- TAV. 47. Concept Plan Urbanistico

#### Rigenerazione alla scala urbana

- TAV. 48. MasterPlan intervento a Scala Urbanistica
- TAV. 49. Principali Flussi di Percorrenza
- TAV. 50. L'A, B, C del MasterPlan
- TAV. 51. Progetto Macroarea A
- TAV. 52. Progetto Macroarea B
- TAV. 53. Progetto Macroarea C
- TAV. 54. Progetto Macroarea D
- TAV. 55. Progetto Macroarea E
- TAV. 56. Progetto Macroarea F
- TAV. 57. Progetto Macroarea G
- TAV. 58. Progetto Macroarea H
- TAV. 59. Progetto Macroarea I
- TAV. 60. Progetto Macroarea J
- TAV. 61. Progetto Macroarea K
- TAV. 62. Progetto Macroarea L
- TAV. 63. Progetto Macroarea M

#### Conoscenza ex Cotonificio Fossati&Lamperti

- TAV. 64. I comparti dei tessuti industriali storici
- TAV. 65. Scheda di censimento delle aree dismesse del territorio lombardo
- TAV. 66. Scheda di censimento dei beni culturali e architettonici

della regione Lombardia

- TAV. 67. Assonometrico con indicazione delle funzioni principali
- TAV. 68. Il ciclo produttivo nella Fossati Lamperti
- TAV. 69. Evoluzione storica dell'ex Cotonificio Fossati & Lamperti
- TAV. 70. Il Modello Iconico
- TAV. 71. Confini e dislivelli
- TAV. 72. II lotto
- TAV. 73. I complessi edilizi
- TAV. 74. Il Complesso Edilizio A
- TAV. 75. Il Complesso Edilizio B Rilievo Geometrico
- TAV. 76. Il Complesso Edilizio B Rilievo Funzionale e Materico
- TAV. 77. Il Complesso Edilizio B Rilievo Tecnologico e delle Anomalie
- TAV. 78. Ciminiera Torre Piezometrica Vasca di Depurazione Acqua
- TAV. 79. Il Complesso Edilizio C
- TAV. 80. Il Complesso Edilizio D Rilievo Geometrico
- TAV. 81. Il Complesso Edilizio D Rilievo Funzionale, Materico e delle Anomalie
- TAV. 82. Il Complesso Edilizio E Rilievo Geometrico
- TAV. 83. Il Complesso Edilizio E Rilievo Funzionale e Materico
- TAV. 84. Il Complesso Edilizio E Rilievo Tecnologico e delle Anomalie
- TAV. 85. Il Complesso Edilizio F Rilievo Geometrico
- TAV. 86. Il Complesso Edilizio F Rilievo Geometrico

```
TAV. 87. Il Complesso Edilizio F – Rilievo Funzionale e Materico
```

TAV. 88. Il Complesso Edilizio F – Rilievo Tecnologico e delle Anomalie

#### Sintesi ex Cotonificio Fossati&Lamperti

TAV. 89. Analisi S.W.O.T. ex Fossati & Lamperti

TAV. 90. Concept Plan ex Fossati & Lamperti

#### Recupero ex Cotonificio Fossati&Lamperti

TAV. 91. Master Plan ex Fossati & Lamperti

TAV. 92. L'A, B, C del MasterPlan

TAV. 93. Il Complesso Edilizio A

TAV. 94. Il Complesso Edilizio B

TAV. 95. Il Complesso Edilizio B

TAV. 96. I Landmark

TAV. 97. Il Complesso Edilizio C

TAV. 98. II Complesso Edilizio D

TAV. 99. Il Complesso Edilizio D

TAV. 100. Il Complesso Edilizio E

TAV. 101. Il Complesso Edilizio E

TAV. 102. Il Complesso Edilizio F

TAV. 103. Il Complesso Edilizio F

#### Conoscenza Complesso Edilizio F

TAV. 104. Il Rilievo Geometrico: Piano Interrato – Parte A

TAV. 105. Il Rilievo Geometrico: Piano Interrato – Parte B

TAV. 106. Il Rilievo Geometrico: Piano Interrato – Parte C

TAV. 107. Il Rilievo Geometrico: Piano Terra – Parte A

TAV. 108. Il Rilievo Geometrico: Piano Terra – Parte B

TAV. 109. Il Rilievo Geometrico: Piano Terra – Parte C

TAV. 110. Il Rilievo Geometrico: Piano Primo – Parte C

TAV. 111. Il Rilievo Geometrico: Prospetto Est – Parti A e B

TAV. 112. Il Rilievo Geometrico: Prospetto Ovest – Parti A e B

TAV. 113. Il Rilievo Geometrico: Prospetti NORD e SUD – Parti A e B

Prospetti NORD, SUD ed OVEST - Parte C

TAV. 114. Il Rilievo Geometrico: Sezione Longitudinale E-E'

Sezioni Trasversali F-F' e G-G'

TAV. 115. Il Rilievo Geometrico: Sezione Longitudinale D-D'

Sezioni Trasversali H-H' e I-I'

TAV. 116. Il Rilievo Geometrico: Sezione Longitudinale C-C'

Sezioni Trasversali L-L' e M-M'

TAV. 117. Il Rilievo Geometrico: Sezione Longitudinale B-B'

Sezioni Trasversali N-N'

TAV. 118. Il Rilievo Geometrico: Sezione Longitudinale A-A'

Sezioni Trasversali O-O' e P-'P'

TAV. 119. Il Rilievo Fotografico: Gli Esterni

TAV. 120. Il Rilievo Fotografico: Gli Interni

TAV. 121. Il Rilievo Funzionale: Modello Iconico e piante

TAV. 122. Il Rilievo Materico: Gli Ambienti interni

TAV. 123. Il Rilievo Tecnologico: Murature

TAV. 124. Il Rilievo Tecnologico: Chiusure Verticali Trasparenti 1

TAV. 125. Il Rilievo Tecnologico: Chiusure Verticali Trasparenti 2

TAV. 126. Il Rilievo Tecnologico: Pilastri

TAV. 127. Il Rilievo delle Anomalie: Prospetto Est - Prospetto Ovest

TAV. 128. Il Rilievo delle Anomalie: Prospetti Nord e Sud – Ed. F1,F2,F3,F4

Prospetti Nord, Sud e Ovest – Ed. F5

TAV. 129. Il Rilievo delle Anomalie: Sezione Longitudinale A-A' Sezione Trasversale H-H' e I-l'

#### Processi Diagnostici

TAV. 130. Albero degli Errori 01 e 02

TAV. 131. Albero degli Errori 03 e 04

TAV. 132. Albero degli Errori 05 e 06

TAV. 133. Albero degli Errori 07 e 08

TAV. 134. Albero Diagnostico 01 e 02

TAV. 135. Albero Diagnostico 03 e 04

TAV. 136. Albero Diagnostico 05 e 06

TAV. 137. Albero Diagnostico 07 e 08

TAV. 138. Albero Diagnostico 09 e 10

TAV. 139. Scheda Stato di Degrado 01 e 02

TAV. 140. Scheda Stato di Degrado 03 e 04

TAV. 141. Scheda Stato di Degrado 05 e 06

TAV. 142. Scheda Stato di Degrado 07 e 08

TAV. 143. Scheda Stato di Degrado 09 e 10

TAV. 144. Proposte di Ulteriori Indagini 01 e 02

#### Metaprogettazione

TAV. 145. Scheda 2 – Scomposizione delle attività funzionali

TAV. 146. Scheda 3 – Verifica della Partecipabilità

TAV. 147. Scheda 4 – Verifica della Privacy

TAV. 148. Scheda 5 – Verifica Temporale delle Attività parte 1

TAV. 149. Scheda 5 – Verifica Temporale delle Attività parte 2

TAV. 150. Scheda 6 – Identificazione e Verifica delle Attrezzature

TAV. 151. Scheda 7 – Verifica delle condizioni di benessere parte 1

TAV. 152. Scheda 7 – Verifica delle condizioni di benessere parte 2

TAV. 153. Scheda 8 – Verifica dei disturbi parte 1

TAV. 154. Scheda 8 – Verifica dei disturbi parte 2

TAV. 155. Scheda delle Unità Ambientali: Sala da Pranzo

TAV. 156. Scheda della Unità Ambientali: Cucina

TAV. 157. Scheda delle Unità Ambientali: WC untenti

TAV. 158. Scheda delle Unità Ambientali: WC e spogliatoi addetti

#### Progetto di recupero

TAV. 159. Assonometrico Rossi & Gialli

TAV. 160. Sezioni Esplicative dell'intervento generale

TAV. 161. Planivolumetrico

TAV. 162. La Pensilina

TAV. 163. Il Viale di Accesso

TAV. 164. Gli ambienti ad Ovest

TAV. 165. Pianta Piano Interrato Livello -2

TAV. 166. Pianta Piano Interrato Livello -1

TAV. 167. Pianta Piano Terra

TAV. 168. Pianta Piano Primo

TAV. 169. Pianta Piano Secondo

TAV. 170. Prospetti Nord e Sud

```
TAV. 171. Prospetto Est
```

- TAV. 172. Prospetto Ovest
- TAV. 173. Sezioni A-A', B-B', C-C' e D-D'
- TAV. 174. Sezioni E-E', F-F', G-G' e H-H'
- TAV. 175. Sezioni I-I', L-L', M-M' e N-N'
- TAV. 176. Sezioni O-O', P-P', Q-Q', R-R'. S-S' e T-T'
- TAV. 177. Sezioni U-U', V-V', W-W' e X-X'
- TAV. 178. Blocco A: Primi tre Spazi Commerciali Piante e Render
- TAV. 179. Blocco A: Primi tre Spazi Commerciali Sezioni
- TAV. 180. Blocco B: Laboratori Artigianali Piante e Render
- TAV. 181. Blocco B: Laboratori Artigianali Sezioni
- TAV. 182. Blocco C: Conference Hall e Foyer Piante e Render
- TAV. 183. Blocco C: Conference Hall e Foyer Sezioni
- TAV. 184. Blocco D: Hall di Ingresso Piante e Render
- TAV. 185. Blocco D: Hall di Ingresso Sezioni
- TAV. 186. Blocco E: Grande Galleria Piante
- TAV. 187. Blocco E: Grande Galleria Sezioni e Render
- TAV. 188. Blocco E: Grande Galleria Sezioni e Render
- TAV. 189. Blocco F: Spazi Commerciali Interni Piante
- TAV. 190. Blocco F: Spazi Commerciali Interni Sezioni e Render
- TAV. 191. Blocco G: Spazi Commerciali Esterni Piante
- TAV. 192. Blocco G: Spazi Commerciali Esterni Sezioni e Render
- TAV. 193. Blocco H: Spazi Commerciali Fuori Asse Piante e Render
- TAV. 194. Blocco H: Spazi Commerciali Fuori Asse Sezioni e Render

#### Approfondimenti ingegneristici

- TAV. 195. Chiusure orizzontali inferiori: solaio controterra aerato
- TAV. 196. Chiusure verticali: pareti perimetrali verticali
- TAV. 197. Chiusure verticali: Infissi esterni verticali
- TAV. 198. Partizioni interne: Partizioni interne verticali
- TAV. 199. Partizioni interne: Partizioni interne orizzontali
- TAV. 200. Chiusure orizzontali superiori: copertura
- TAV. 201. Sezione Corrente: Solai contro terra
- TAV. 202. Sezione Corrente: Chiusure Verticali Opache 01
- TAV. 203. Sezione Corrente: Chiusure Verticali Opache 02
- TAV. 204. Sezione Corrente: Partizioni Orizzontali Interne
- TAV. 205. Sezione Corrente: Chiusure Verticali Trasparenti

#### Partizioni Verticali Leggere

- TAV. 206. Sezione Corrente: Partizioni Verticali Pesanti
- TAV. 207. Sezione Corrente: Coperture 01
- TAV. 208. Sezione Corrente: Coperture 02
- TAV. 209. Particolari: Nodi A1, A2 e A3
- TAV. 210. Particolari: Nodi B1, B2 e B3
- TAV. 211. Particolari: Nodi C1, C2 e C3
- TAV. 212. Particolari: Nodi D1, D2 e D3
- TAV. 213. Particolari: Nodi E1, E2 e E3
- TAV. 214. Particolari: Nodi F1, F2 e F3
- TAV. 215. Particolari: Nodi G1, G2, G3 e G4
- TAV. 216. Particolari: Nodi H1, H2, H3 e H4
- TAV. 217. Particolari: Nodi I1, I2 e I3
- TAV. 218. Particolari: Nodi L1, L2, L3, L4 e L5
- TAV. 219. Carico neve

```
TAV. 220. Spinta del vento
```

- TAV. 221. Assonometrico Strutture Edificio F1
- TAV. 222. Assonometrico Strutture Edificio F2
- TAV. 223. Assonometrico Strutture Hall
- TAV. 224. Assonometrico Strutture Edificio F3
- TAV. 225. Assonometrico Strutture Edificio F4
- TAV. 226. Assonometrico Strutture Edificio F5
- TAV. 227. Dimensionamento Profilo ad Omega
- TAV. 228. Dimensionamento Profilo a C tipo Profil-Haus
- TAV. 229. Verifica Unioni Bullonate e Unioni Saldate
- TAV. 230. Dimensionamento Travi Principali
- TAV. 231. Dimensionamento Pilastri Ampliamento Edificio F3
- TAV. 232. Calcolo Trasmittanza di progetto: Chiusure Verticali Opache
- TAV. 233. Calcolo Trasmittanza di progetto: Solette Controterra e Coperture
- TAV. 234. Verifica Condensazione Interstiziale: Chiusura Verticale Opaca tipo 1
- TAV. 235. Verifica Condensazione Interstiziale: Chiusura Verticale Opaca tipo 4
- TAV. 236. Verifica Condensazione Interstiziale: Chiusura Orizzontale tipo 2
- TAV. 237. Verifica Condensazione Superficiale: Chiusura Verticale Opaca tipo 4 e Chiusura Verticale Trasparente della Grande Galleria
- TAV. 238. Verifica Potere Fonoisolante delle Pareti della Conference Hall
- TAV. 239. Verifica Tempo di Riverberazione della Conference Hall
- TAV. 240. Calcolo del Carico di Incendio delle Zone A e B
- TAV. 241. Calcolo del coefficiente di riduzione per la Zona A
- TAV. 242. Calcolo del coefficiente di riduzione per la Zona B
- TAV. 243. Calcolo radiazione solare a cielo sereno il 21 giugno
- TAV. 244. Calcolo radiazione solare a cielo sereno il 21 dicembre
- TAV. 245. Calcolo radiazione solare a cielo coperto il 21 giugno
- TAV. 246. Calcolo radiazione solare a cielo coperto il 21 dicembre
- TAV. 247. Diagrammi solari specifici
- TAV. 248. Tabella dati climatici per il progetto
- TAV. 249. La Luce in architettura: Le Corbusier / Louis Kahn
- TAV. 250. La Luce in architettura: Tadao Ando / Renzo Piano
- TAV. 251. La Luce in architettura: Mario Botta / Richard Meier
- TAV. 252. La Luce in architettura: Ralph Erskine / Jean Nouvel
- TAV. 253. La Luce in architettura: Steven Holl / Zaha Hadid
- TAV. 254. Illuminamento cielo coperto standard al 21 giugno
- TAV. 255. Illuminamento cielo coperto standard al 21 dicembre
- TAV. 256. Illuminamento cielo sereno al 21giuno
- TAV. 257. Illuminamento cielo sereno al 21 dicembre
- TAV. 258. Simulazione del day light factor: Hall di Ingresso
- TAV. 259. Simulazione del day light factor: Grande Galleria
- TAV. 260. Simulazione del day light factor: Lungo Corridoio
- TAV. 261. Simulazione dal day light factor: Il primo commerciale
- TAV. 262. Simulazione del day light factor: Edificio F3

#### Approfondimenti Impiantisitici

- TAV. 263. Calcolo calore disperso zona 1
- TAV. 264. Calcolo calore disperso zona 2
- TAV. 265. I guadagni interni
- TAV. 266. I guadagni solari Parte 1
- TAV. 267. I guadagni solari Parte 2
- TAV. 268. Fattore di utilizzazione

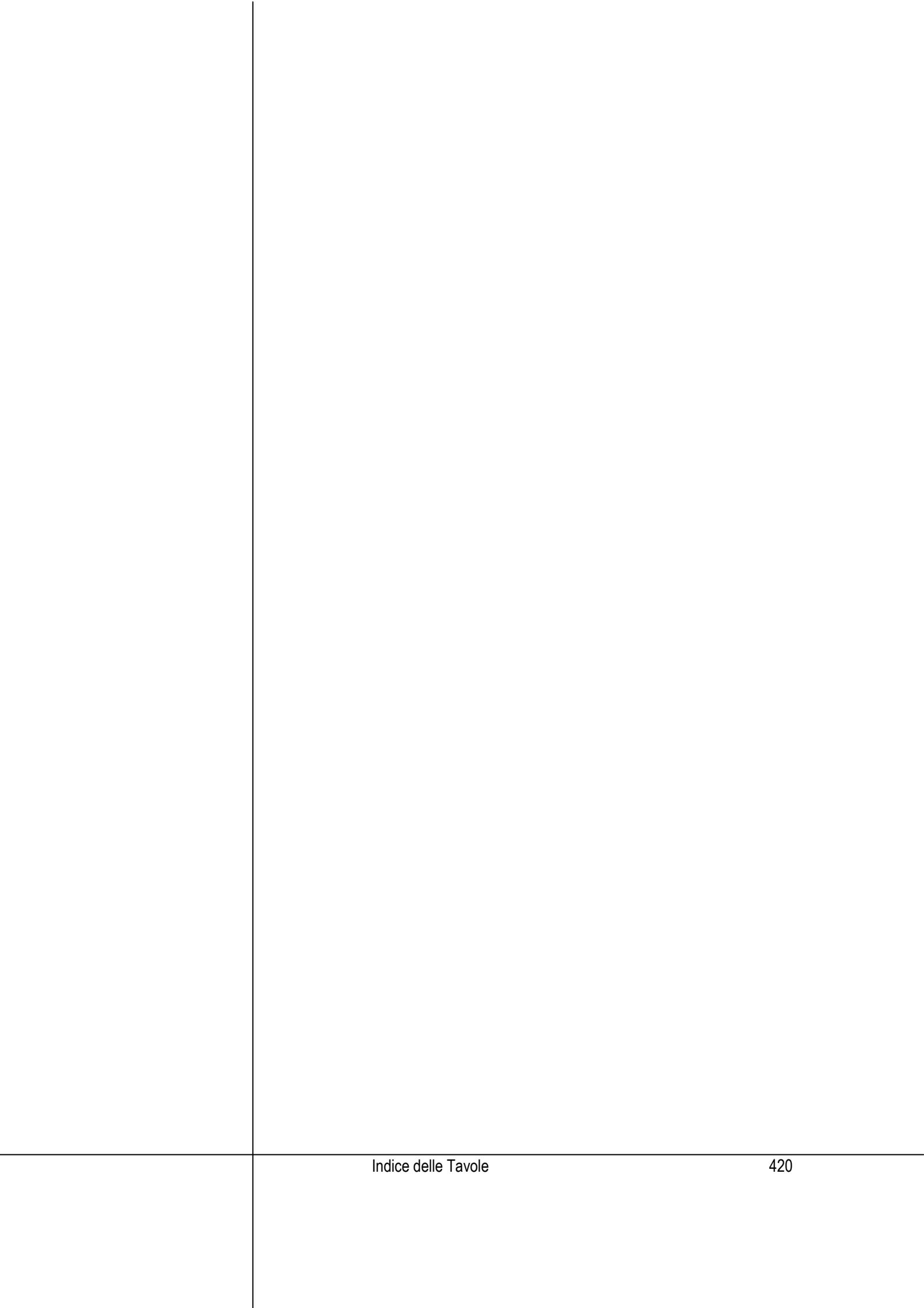
- TAV. 269. Fabbisogno di Energia e Potenza di Riscaldamento
- TAV. 270. Flusso di Scambio Termico Zona 1
- TAV. 271. Flusso di Scambio Termico Zona 2
- TAV. 272. I guadagni interni
- TAV. 273. I guadagni solari Zona 1
- TAV. 274. I guadagni solari Zona 2
- TAV. 275. Fattore di Utilizzazione
- TAV. 276. Fabbisogno di Energia e Potenza di Raffrescamento
- TAV. 277. Locale Caldaia Zona 1
- TAV. 278. Locale Caldaia Zona 2
- TAV. 279. Individuazione Impianti
- TAV. 280. Sezione con rappresentazione funzionamento impianti
- TAV. 281. Collettori Solari: Metodo F-CHART [UNI 8477] Zona 1
- TAV. 282. Collettori Solari: Metodo F-CHART [UNI 8477] Zona 2
- TAV. 283. Calcolo approssimativo del consumo annuo del Complesso Edilizio F
- TAV. 284. Valutazioni di carattere economico
- TAV. 285. Impianto di Illuminazione Artificiale Commerciale Esterno

#### Flessibilità

- TAV. 286. Flessibilità Spaziale: I laboratori artigianali
- TAV. 287. Flessibilità Spaziale: Gli spazi commerciali di testa
- TAV. 288. Flessibilità Spaziale: Gli spazi commerciali interni
- TAV. 289. Flessibilità Spaziale: Gli spazi commerciali esterni
- TAV. 290. Flessibilità Spaziale: La Grande Galleria
- TAV. 291. Flessibilità Spaziale: Gli spazi commerciali fuori asse
- TAV. 292. Flessibilità Funzionale: Proposta alternativa a nord della Hall
- TAV. 293. Flessibilità Funzionale: Proposta alternativa a sud della Hall

#### Realizzazione

- TAV. 294. Cantierizzazione: Fasi 1, 2, 3 e 4
- TAV. 295. Cantierizzazione: Fasi 5,6,7 e 8
- TAV. 296. Vista EST Progetto a livello città
- TAV. 297. Vista SUD Progetto a livello città
- TAV. 298. Vista OVEST Progetto a livello città
- TAV. 299. Vista NORD Progetto a livello città
- TAV. 300. Vista EST Progetto Lotto ex Fossati-Lamperti
- TAV. 301. Vista SUD Progetto Lotto ex Fossati-Lamperti
- TAV. 302. Vista OVEST Progetto Lotto ex Fossati-Lamperti
- TAV. 303. Vista NORD Progetto Lotto ex Fossati-Lamperti
- TAV. 304. Vista EST Progetto Complesso Edilizio F
- TAV. 305. Vista SUD Progetto Complesso Edilizio F
- TAV. 306. Vista OVEST Progetto Complesso Edilizio F
- TAV. 307. Vista NORD Progetto Complesso Edilizio F
- TAV. 308. Viste Interne Progetto Complesso Edilizio F Hall di Ingresso
- TAV. 309. Vista Interna Progetto Complesso Edilizio F Hall di Ingresso
- TAV. 310. Viste Interne Progetto Complesso Edilizio F Grande Galleria



# Indice degli Allegati

Acquisizione 1 Allegato 01 – Risultati Concorso Europan 7	pag.	423
Conoscenza 2		
Allegato 02 – Evoluzione Urbanistica di Monza		407
dalla sua fondazione al XVIII sec.	pag.	427
Allegato 03 – Evoluzione Urbanistica di Monza		
dal XVIII sec. ad oggi	pag.	435
Allegato 04 – Articoli di Giornale	pag.	453

